

بِسْمِ اللّٰهِ الرَّحْمٰنِ الرَّحِيْمِ



دانشگاه ولی عصر(عج) رفسنجان

دانشکده‌ی علوم

گروه فیزیک

پایان‌نامه‌ی کارشناسی ارشد

فیزیک گرایش اتمی و مولکولی (لیزر)

بررسی جذب خطی و غیرخطی نقاط کوانتمی استوانه‌ای گالیم

آرسنید با در نظر گرفتن برهم‌کنش اسپین - مدار

استاد راهنما:

دکتر حسن رنجبر عسکری

استاد مشاور:

محمد خانزاده

دانشجو :

طیبه رشیدی

1391 اسفند

تمامی حقوق مادی مترتب بر نتایج، مطالعات، ابتكارات و  
نوآوری‌های حاصل از پژوهش موضوع این پایان نامه  
متعلق به دانشگاه ولی عصر(عج) رفسنجان است.

## پاس کزاری:

به دگاه کبیریا و عظمت پروردگار سپاس و تائیش می‌کذارم که به مادرس معرفت و کلمه‌ی شکر آموخت. به روی مادرهای بیش و دانش بکشاد و مارا به سوی معنی توحید و حقیقت اخلاص ہدایت فرمود و نعمت دانش و بیش را از برکت اخلاص و توحید به ما ارزانی داشت.

اللی حمد و ثنای بی پایان ما سزاوار توست و این تویی که حمد و ثنای از لی و ابدی را سزاواری. مارا در زیباترین اسلوب‌ها، به صورتی زیبا آفریدی و نعمت بی دریغ خویش را به ما ارزانی داشت. این تویی که به انسان ناچیز قدرت غلطی تجیده‌ای و موجودی ناتوان را بر توانترین موجودات خویش سیطره و سلطنت داده‌ای. دهای حاجات را از همه سمت به روی مافروبی و دعوض از خزانه‌ی لایزال خویش درهای غنای را بی‌ماکشودی. چکونه سپاس تووانیم گفت؟ با کدام دست تو ناؤ زبان سخنگواز عمدتی شکر تو تو نایم برآمد؟ هرگز، هرگز، دست‌های خست و زبان‌های دمانده ماحق شکر تورا ادا نخواهد کرد و هرگز آن یارا در نفس مانیست که به تائیش تو برخیزیم و تو را آن چنان که شایسته‌ای بتاییم.

آن چنان سپاس و تائیشت کوییم که عمران دادای سپاس و تائیشت به سر رسد تا از رضایت و عنایت هرچه بیش تر بهرمند گردیم.

سپاس صمیمانه دارم از استاد صبور و بزرگوارم جناب آقای دکتر حسن رنجبر عکبری که در کمال سعدی صدر، با حسن غلت و فروتنی همواره راهنمای من در انجام این پایان نامه بوده است. از استاد فرنیخته و کرامی جناب آقای محمد خانزاده که زحمت مشاوره‌ی این پایان نامه را به عمدت داشته‌اند، کمال شکر را دارم. سپاس صمیمانه دارم از خانزاده ام که همواره در طول تحصیل محفل زحاظم بوده اند و وجودشان شادی بخش و صفاشان بایه آرامش من است، بدرو مادر عزیزم که کرمای امید بخش وجودشان بترین پشتیان است، خواهان و برادرانم که مایه‌ی دلگرمی من بوده اند و همسر هربانم که امید بودن و بترین تکیه‌گاه‌هم است.

پروردگارا: توفیقم ده که هر چنطه شکر کزار و جوابکوی محبت هایشان باشم.

تقدیم به:

روان پاک برادرم شهید حسین رشیدی

### چکیده

در این پژوهش ابتدا ضریب ژیرومغناطیسی نقطه‌ی کوانتموی استوانه‌ای گالیم آرسنید با پتانسیل سهموی، را در حضور میدان‌های خارجی و برهم‌کنش اسپین-مدار راشبا، بررسی کرده و در ادامه با استفاده از رهیافت ماتریس چگالی، ضرایب جذب خطی و غیرخطی، مورد مطالعه قرار می‌گیرند. با در نظر گرفتن تقریب جرم موثر و با استفاده از نظریه‌ی اختلال، معادله‌ی شروdingر را برای نقطه کوانتموی حل کرده و ویژه‌مقادیر انرژی و ویژه حالت‌ها محاسبه می‌شوند، سپس با به دست آوردن اختلاف انرژی برای اسپین بالا و اسپین پایین، ضریب ژیرومغناطیسی محاسبه می‌شود. نتایج نشان می‌دهند با افزایش ابعاد نقطه‌ی کوانتموی، ضریب ژیرومغناطیسی به مقدار واقعی خودش در حالت توده‌ای نزدیک می‌شود. با محاسبه‌ی ضرایب جذب، مشاهده شد که کاهش ابعاد نقطه‌ی کوانتموی، باعث افزایش انرژی فوتون برای گذارهای داخل نواری، می‌شود، و با در نظر گرفتن برهم‌کنش اسپین-مدار، ضرایب جذب به طور ناچیزی تغییر می‌کنند.

**واژگان کلیدی:** نقاط کوانتموی استوانه‌ای گالیم آرسنید، برهم‌کنش اسپین-مدار، ضریب جذب

## فهرست مطالب

عنوان	صفحه
فصل اول: مقدمه	۱
فصل دوم: نقاط کوانتومی و برهمنش اسپین-مدار	۵
۱-۲ فیزیک نیمرساناهای	۵
۲-۲ اکسایتون‌ها	۷
۳-۲ تقریب جرم موثر	۸
۴-۲ فیزیک نیمرساناهای کم بعدی	۱۱
۱-۴-۲ چاه کوانتومی	۱۱
۲-۴-۲ سیم کوانتومی	۱۱
۳-۴-۲ نقطه کوانتومی	۱۱
۵-۲ ویژگی‌های نقاط کوانتومی	۱۲
۶-۲ روش ساخت نقاط کوانتومی	۱۳
۷-۲ کاربرد نقاط کوانتومی	۱۵
۱-۷-۲ پژشکی	۱۵
۲-۷-۲ دیدود نورانی	۱۶
۳-۷-۲ سلول خورشیدی	۱۶
۸-۲ خاصیت مغناطیسی مداری	۱۷
۹-۲ الکترون چرخان	۱۸
۱۰-۲ برهمنش اسپین-مدار	۲۰
۱-۱۰-۲ برهمنش اسپین-مدار در اتم‌ها	۲۰
۲-۱۰-۲ برهمنش اسپین-مدار در نانوساختارها	۲۲
۱۱-۲ اسپینترونیک	۲۳
۱۲-۲ کامپیوترهای کوانتومی	۲۴
فصل سوم: ویژگی‌های اپتیکی خطی و غیرخطی	۲۶
۱-۳ مقدمه	۲۶
۲-۳ ویژگی‌های اپتیکی GaAs	۲۶
۳-۳ فرآیندهای پارامتریک و غیرپارامتریک	۳۰
۴-۳ برهمنش نور با ماده	۳۱
۵-۳ نظریه‌ی اختلال	۳۲
۶-۳ روش ماتریس چگالی در مکانیک کوانتومی	۳۵

۴۱	فصل چهارم: بررسی ضریب ژیرومگناطیسی
۴۱	۱-۴ مقدمه
۴۲	۲-۴ تئوری
۴۵	۳-۴ محاسبه‌ی ضریب ژیرومگناطیسی
۴۷	۴-۴ محاسبات عددی و نتایج
۵۰	فصل پنجم: بررسی ضریب جذب خطی و غیرخطی
۵۰	۱-۵ مقدمه
۵۰	۲-۵ حل معادله‌ی شرویدینگر
۵۲	۳-۵ اولین تراز داخلی نوار رسانش
۵۳	۴-۵ دومین تراز داخلی نوار رسانش
۵۴	۵-۵ سومین تراز داخلی نوار رسانش
۵۴	۶-۵ چهارمین تراز داخلی نوار رسانش
۵۵	۷-۵ محاسبه‌ی ضریب جذب
۵۶	۱-۷-۵ گذار از اولین تراز به دومین تراز نوار رسانش
۵۷	۲-۷-۵ گذار از اولین تراز به سومین تراز نوار رسانش
۵۸	۳-۷-۵ گذار از دومین تراز به سومین تراز نوار رسانش
۵۸	۴-۷-۵ گذار از اولین تراز به چهارمین تراز نوار رسانش
۶۰	۸-۵ محاسبات عددی و نتایج
۶۰	۱-۸-۵ بحث و بررسی ضرایب جذب از اولین تراز به دومین تراز نوار رسانش
۶۴	۲-۸-۵ بحث و بررسی ضرایب جذب از اولین تراز به سومین تراز نوار رسانش
۶۸	۳-۸-۵ بحث و بررسی ضرایب جذب از دومین تراز به سومین تراز نوار رسانش
۷۷	فصل ششم: نتیجه‌گیری
۸۰	منابع

## فهرست شکل‌ها

عنوان	صفحه
شکل (۱-۲): نمایی توصیفی از تولید تشدیدی و غیرتشدیدی اکسایتون [۲۱]	۷
شکل (۲-۲): وجود کمینه در $k = 0$ در مرکز منطقه‌ی بریلوئن [۲۲]	۸
شکل (۳-۲): طرحی از نوارهای انرژی برای جرم‌های مؤثر متفاوت، (الف) نوار دارای جرم مؤثر مثبت کوچکی است، (ب) نوار دارای جرم مؤثر مثبت بزرگی است، و (ج) نوار دارای جرم مؤثر منفی است [۲۲]	۱۰
شکل (۴-۲): افزایش گاف انرژی با کاهش اندازه	۱۲
شکل (۵-۲): جایه‌جایی به سمت آبی با کاهش اندازه	۱۳
شکل (۶-۲): مراحل تشکیل یک سیم کوانتومی یا یک نقطه‌ی کوانتومی به وسیله‌ی لیتوگرافی با باریکه الکترونی. (الف) پوشاندن چاه کوانتومی با رزیست، (ب) تاباندن نور با محافظت نمونه با یک الگو، (پ) آرایش پس از حل کردن قسمت تابش دیده‌ی رزیست، (ت) پس از اضافه کردن پوشش میانی لایه برداری قسمتهایی از چاه کوانتومی، (ث) آرایش پس از حذف باقیمانده‌ی رزیست، (ج) آرایش پس از لایه برداری [۲۴]	۱۴
شکل (۷-۲): مکانیابی و درمان تومور با استفاده از تزریق نقاط کوانتومی	۱۶
شکل (۸-۲): سلول خورشیدی با فناوری نقاط کوانتومی	۱۷
شکل (۱-۳): نمایی از (الف) ساختار سولفید روی (ب) ساختار الماسی	۲۷
شکل (۲-۳): ساختار نواری GaAs [۲۲]	۲۷
شکل (۳-۳): شکافتگی تراز انرژی اتمی برای یک ترکیب دوتایی مانند GaAs [۲۲]	۲۸
شکل (۴-۳): ساختار نواری GaAs نزدیک $k = 0$ شامل برهمکنش اسپین-مدار	۲۹
شکل (۵-۳): طیف جذبی GaAs (الف) دمای پایین (ب) دمای اتاق	۳۰
شکل (۱-۴): نمودار g-فاکتور بر حسب شعاع نقطه‌ی کوانتومی	۴۷
شکل (۲-۴): نمودار g-فاکتور بر حسب ارتفاع نقطه‌ی کوانتومی	۴۸
شکل (۳-۴) نمودار g-فاکتور بر حسب شدت برهمکنش اسپین-مدار	۴۸
شکل (۴-۴): نمودار g-فاکتور بر حسب میدان مغناطیسی	۴۹
شکل (۵-۴): نمودار g-فاکتور بر حسب میدان الکتریکی	۴۹
شکل (۱-۵): جذب خطی بر حسب انرژی فوتون برای شعاع‌های متفاوت	۶۰
شکل (۲-۵): جذب خطی بر حسب انرژی فوتون، برای ارتفاع‌های متفاوت	۶۱
شکل (۳-۵): جذب غیرخطی بر حسب انرژی فوتون برای شعاع‌های متفاوت	۶۱
شکل (۴-۵): جذب غیرخطی بر حسب انرژی فوتون برای ارتفاع‌های متفاوت	۶۲
شکل (۵-۵): جذب کل، خطی و غیرخطی بر حسب انرژی فوتون برای شعاع‌های متفاوت	۶۲
شکل (۶-۵): جذب کل، خطی و غیرخطی بر حسب انرژی فوتون برای ارتفاع‌های متفاوت	۶۳

..... شکل(۷-۵): جذب خطی بر حسب انرژی فوتون برای شعاع‌های متفاوت	۶۴
..... شکل(۸-۵): جذب خطی بر حسب انرژی فوتون، برای ارتفاع‌های متفاوت	۶۵
..... شکل(۹-۵): جذب غیرخطی بر حسب انرژی فوتون برای شعاع‌های متفاوت	۶۵
..... شکل(۱۰-۵): جذب غیرخطی بر حسب انرژی فوتون برای ارتفاع‌های متفاوت	۶۶
..... شکل(۱۱-۵): جذب کل، خطی و غیرخطی بر حسب انرژی فوتون برای شعاع‌های متفاوت	۶۶
..... شکل(۱۲-۵): جذب کل، خطی و غیرخطی بر حسب انرژی فوتون برای ارتفاع‌های متفاوت	۶۷
..... شکل(۱۳-۵): جذب خطی بر حسب انرژی فوتون برای $R \leq 10nm$	۶۸
..... شکل(۱۴-۵): جذب خطی بر حسب انرژی فوتون برای $R \geq 10nm$	۶۸
..... شکل(۱۵-۵): جذب خطی بر حسب انرژی فوتون، برای $L \leq 10nm$	۶۹
..... شکل(۱۶-۵): جذب خطی بر حسب انرژی فوتون، برای $L \geq 10nm$	۶۹
..... شکل(۱۷-۵): جذب غیرخطی بر حسب انرژی فوتون برای $R \leq 10nm$	۷۰
..... شکل(۱۸-۵): جذب غیرخطی بر حسب انرژی فوتون برای $R \geq 10nm$	۷۰
..... شکل(۱۹-۵): جذب غیرخطی بر حسب انرژی فوتون برای $L \leq 10nm$	۷۱
..... شکل(۲۰-۵): جذب غیرخطی بر حسب انرژی فوتون برای $L \geq 10nm$	۷۱
..... شکل(۲۱-۵): جذب کل، خطی و غیرخطی بر حسب انرژی فوتون برای $R \leq 10nm$	۷۲
..... شکل(۲۲-۵): جذب کل، خطی و غیرخطی بر حسب انرژی فوتون برای $R \geq 10nm$	۷۳
..... شکل(۲۳-۵): جذب کل، خطی و غیرخطی بر حسب انرژی فوتون برای $L \leq 10nm$	۷۴
..... شکل(۲۴-۵): جذب کل، خطی و غیرخطی بر حسب انرژی فوتون برای $L \geq 10nm$	۷۴
..... شکل(۲۵-۵): جذب کل بر حسب انرژی فوتون با شدت‌های متفاوت	۷۴
..... شکل(۲۶-۵): جذب غیرخطی بر حسب انرژی فوتون با شدت‌های متفاوت	۷۵
..... شکل(۲۷-۵): جذب کل بر حسب انرژی فوتون، تحت تاثیر میدان الکترومغناطیسی متفاوت	۷۵
..... شکل(۲۸-۵): جذب کل بر حسب انرژی فوتون، تحت تاثیر میدان مغناطیسی متفاوت	۷۶

## فهرست جداول

عنوان	
صفحه	
جدول(۱-۵): مقایسه‌ی ضریب جذب کل و انرژی فوتون با و بدون در نظر گرفتن برهمکنش اسپین-مدار برای شعاع‌های متفاوت ..... ۶۳	
جدول(۲-۵): مقایسه‌ی ضریب جذب کل و انرژی فوتون با و بدون در نظر گرفتن برهمکنش اسپین-مدار برای ارتفاع‌های متفاوت ..... ۶۴	
جدول(۳-۵): مقایسه‌ی ضریب جذب کل و انرژی فوتون با و بدون در نظر گرفتن برهمکنش اسپین-مدار برای شعاع‌های متفاوت ..... ۶۷	
جدول(۴-۵): مقایسه‌ی ضریب جذب کل و انرژی فوتون با و بدون در نظر گرفتن برهمکنش اسپین-مدار برای ارتفاع‌های متفاوت ..... ۶۷	
جدول(۵-۵): مقایسه‌ی ضریب جذب کل و انرژی فوتون با و بدون در نظر گرفتن برهمکنش اسپین-مدار برای شعاع‌های متفاوت ..... ۷۴	
جدول(۶-۵): مقایسه‌ی ضریب جذب کل و انرژی فوتون با و بدون در نظر گرفتن برهمکنش اسپین-مدار برای ارتفاع‌های متفاوت ..... ۷۴	

## فصل اول

### مقدمه

نقاط کوانتومی به دلیل کاربرد وسیع در فناوری، توجه بسیاری از پژوهشگران را به خود جلب کرده است. اخیرا تلاش‌های چشم‌گیری برای ساخت ویژگی‌های اپتیکی و الکترونیکی این نقاط انجام گرفته است که با کنترل این ویژگی‌ها می‌توان از آن‌ها در میکروالکترونیک و اپتیک غیرخطی استفاده کرد. از طرف دیگر، به دلیل پیشرفت در زمینه‌ی نانوفناوری، ساختارهای نیمرسانا با بعد کم، از قبیل چاههای کوانتومی [۱، ۲]، سیم‌های کوانتومی [۳] و به ویژه نقاط کوانتومی [۴] مورد توجه قرار گرفته‌اند. این ساختارها نامزد طبیعی برای ابزارهای اپتوالکترونیکی به شمار می‌روند. اعمال میدان‌های الکتریکی و مغناطیسی و همچنین در نظر گرفتن اسپین، خواص اپتیکی و گذارهای الکترون در این ساختارها را تغییر می‌دهد و همچنین باعث جابه‌جایی در ترازهای انرژی می‌شود [۵، ۶].

در بررسی خواص اپتیکی و الکترونیکی نانوساختارهای نیمرسانا، اسپین نقش مهمی را ایفا می‌کند، به کارگیری درجه آزادی اسپینی و بررسی رفتار آن علاوه بر اهمیت نظری، در طراحی و ساخت دستگاه‌های اپتیکی، الکترونیکی و اسپینترونیکی<sup>۱</sup> کاربرد زیادی دارد. با به کار بردن

---

<sup>۱</sup> Spintronics

اسپین به انرژی کمتری نیاز بوده و گرمای کمتری نیز تولید می‌شود که یک روش امیدوارکننده برای افزایش حافظه و کاهش توان مورد نیاز کامپیوترهاست، از این رو پژوهشگران امیدوارند با پیشرفت اسپینترونیک، کامپیوترهای کوانتومی حاصل شوند [۷].

اسپینترونیک علم استفاده از اسپین الکترون‌ها در الکترونیک است، اسپین الکترون تحولی عظیم در دستگاه‌های میکروالکترونیکی به وجود خواهد آورد. قطعات الکترونیکی مرسوم تنها از بار الکتریکی استفاده می‌کنند در حالی که قطعات اسپینترونیکی از هر دو ویژگی بهره می‌گیرند. در آینده نزدیک این شاخه از علم می‌تواند به ساخت کامپیوترهای کوانتومی که میلیون‌ها بار سریع‌تر از ابرکامپیوترهای امروزی هستند و اندازه آن‌ها جیبی است، منجر شود. به این ترتیب یک علم کاملاً جدید الکترونیک مبتنی بر اسپین به وجود می‌آید و اصول و قوانین کنونی علم الکترونیک را دگرگون می‌سازد.

یکی از جنبه‌های مهم رفتار اسپین، در برهم‌کنش اسپین-مدار دیده می‌شود، این نوع برهم‌کنش به دلیل آشکار ساختن جهت اسپین و آشکارسازی نوری توجه زیادی را به خود جلب کرده است. یک نوع برهم‌کنش اسپین-مدار، برهم‌کنش راشبا است که ناشی از عدم تقارن موجود در شبکه بلور است و این عدم تقارن می‌تواند ناشی از سه عامل باشد [۸]:

- ۱- میدان الکتروستاتیکی داخلی
- ۲- اعمال میدان‌های خارجی
- ۳- وجود میدان درفصل مشترک‌ها

اگر این عدم تقارن ناشی از اعمال میدان‌های الکتریکی و مغناطیسی خارجی باشد، می‌توانیم با کنترل این میدان‌های خارجی شدت برهم‌کنش راشبا را کنترل کنیم.

پژوهشگران مطالعات گسترده‌ای، در زمینه‌ی تاثیر برهم‌کنش اسپین-مدار راشبا انجام داده‌اند، کاهای<sup>۱</sup> به بررسی نظری اثرات راشبا روی یک نقطه‌ی کوانتومی نامتقارن در حضور میدان مغناطیسی پرداخته است [۹]. رضایی تاثیر برهم‌کنش اسپین-مدار را روی ترازهای انرژی و g-فاکتور یک نقطه کوانتومی کروی مورد بررسی قرار داده است [۵]. یکی دیگر از کارهای انجام شده مطالعه‌ی جفت شدگی اسپین-مدار راشبا تحت اثر کوانتومی هال<sup>۲</sup>

<sup>1</sup> Cahay

<sup>2</sup> Quantum Hall Effect

است [۱۰]. گاورنل<sup>۱</sup> و همکارش تأثیر شدید این برهمکنش را روی ساختار نواری، در یک سیم کوانتمی مورد بررسی قرار داده‌اند [۱۱].

همچنین بررسی خواص اپتیکی به علت نقش مهم آن‌ها در ابزارهای کاربردی توجه زیادی را به خود جلب کرده است. اگر شدت نوری که به ماده تابیده می‌شود، به اندازه‌ی کافی ضعیف باشد در این صورت پاسخ محیط، از شدت نور فرودی مستقل است که به قابلیت خطی اپتیکی معروف می‌باشد، در غیر این صورت با قابلیت‌های غیرخطی اپتیکی مواجه‌ایم. اساساً تحت برهمکنش‌های به اندازه‌ی کافی شدید، خواص نوری تمامی نیم‌رساناهای از خود مشخصه‌های غیرخطی بروز می‌دهند. این خواص می‌توانند باعث ایجاد اثراتی نظیر جذب وابسته به برانگیزش<sup>۲</sup>، ترکیب غیرخطی موج، دوپایداری نوری، یا سایر ناپایداری‌های نوری گردند. بعضی از این اثرات دارای اهمیت زیادی می‌باشند چون می‌توانند برای کاربردهایی در ابزارهای سوئیچینگ نوری<sup>۳</sup>، دریچه‌های منطق نوری یا حتی اجرای محاسبات نوری مفید واقع شوند.

شوابی<sup>۴</sup> به بررسی فرآیند تولید هارمونیک سوم [۱۲] و بین لی<sup>۵</sup> به بررسی تولید هارمونیک دوم و فرآیند اصلاح اپتیکی در حضور میدان‌های الکتریکی و مغناطیسی پرداخته‌اند [۱۳, ۱۴]. واثقی و همکاران به محاسبه‌ی ضریب اصلاح اپتیکی برای یک نقطه‌ی کوانتمی مکعبی با حضور برهمکنش اسپین-مدار پرداخته‌اند [۱۵]. مطالعه‌ی اثرات پولارونی روی ویژگی‌های خطی و غیرخطی نقطه‌ی کوانتمی استوانه‌ای و محاسبه‌ی انرژی بستگی، توابع موج و ضریب جذب برای نقطه‌ی کوانتمی کروی با پتانسیل سهموی با روش QGA<sup>۶</sup> و HFR<sup>۷</sup> از دیگر کارهای انجام شده است [۱۶, ۱۷]. همچنین خواص اپتیکی غیرخطی یک نقطه‌ی کوانتمی کروی سه الکترونی با برهمکنش اسپین-مدار توسط حسن‌آبادی بررسی شده است [۱۸]، در همین راستا یوان<sup>۸</sup> به محاسبه ضرایب جذب خطی و غیرخطی برای یک نقطه کوانتمی کروی با ناخالصی مرکزی به روش اختلال پرداخته‌اند [۱۹].

<sup>1</sup> Governel

<sup>2</sup> Excitation-dependent absorption

<sup>3</sup> Optical logic gates

<sup>4</sup> Shuai

<sup>5</sup> Bin. Li

<sup>6</sup> Quantum Genetic Algoritm

<sup>7</sup> Hartree-Fock-Roothaan

<sup>8</sup> Yuan

در فصل دوم به معرفی نقاط کوانتومی و کاربرد آن‌ها پرداخته و در ادامه‌ی فصل، برهم-کنش اسپین-مدار را مطرح می‌کنیم. با توجه به این‌که کار اصلی این پایان‌نامه بررسی جذب اپتیکی است، در فصل سوم خواص اپتیک خطی و غیرخطی را مطرح کرده و با استفاده از رهیافت ماتریس چگالی، به محاسبه‌ی ضریب جذب می‌پردازیم. یکی از پرسش‌هایی که در طول پایان‌نامه مطرح می‌شود این است که با وجود برهم-کنش اسپین-مدار ضریب ژیرومغناطیسی چه تغییری می‌کند، در فصل چهارم با استفاده از حل معادله شرودینگر، برای یک نقطه‌ی کوانتومی استوانه‌ای با پتانسیل محدودیت سهمی، واقع در میدان‌های خارجی، به محاسبه‌ی ضریب ژیرومغناطیسی می‌پردازیم. در فصل پنجم با استفاده از نظریه‌ی اختلال، ویژه مقادیر و ویژه حالات را به دست آورده، و به محاسبه‌ی ضریب جذب خطی و غیرخطی نقطه‌ی کوانتومی استوانه‌ای *GaAs* می‌پردازیم. در فصل ششم خلاصه‌ای از محاسبات را ارائه داده و مطالب را جمع‌بندی می‌کنیم.

## فصل دوم

### نقاط کوانتمی و برهمنش اسپین-مدار

#### بخش اول: معرفی نقاط کوانتمی

##### ۱-۲ فیزیک نیمرسانانها

از آغاز تمدن، ماده در حالت جامد همیشه جالب توجه بوده است. انسان‌های اولیه به خاطر زیبایی مواد جامد، مثلا در جواهرات متقارن و درخشان و کاربرد آن‌ها در ابزارهای فلزی، به آن‌ها علاقمند بودند. کاربردهای صنعتی باعث شدند فیزیک حالت جامد به یکی از شاخه‌های مهم فیزیک تبدیل شود. تقارن زیبا و نظم جامدات بلوی باعث پیشرفت سریع فیزیک جامدات بلوی در قرن بیستم شد، همچنین تلاش زیادی برای شناخت جامدات بی‌شکل، به خاطر کاربرد آن‌ها در سلول‌های خورشیدی، عناصر حافظه و موجبرهای نوری شده است.

در بین گروه جامدات، نیمرسانانها داری خواص قابل توجهی هستند و کاربردهای فراوانی دارند، اختراع ترانزیستور در قرن بیستم باعث شد این دسته از مواد جایگاه واقعی خود را بیابند. وقتی یک جامد تشکیل می‌شود، ترازهای انرژی اتم‌ها پهن می‌شود و نوارهایی که بین آن‌ها گاف‌های ممنوع است، شکل می‌گیرند. انرژی الکترون‌ها می‌تواند هر یک از مقادیر موجود در

یکی از نوارها را داشته باشد، اما این انرژی‌ها نمی‌توانند متناظر با مقادیر موجود در یکی از گاف‌های بین نوارها باشند. الکترون‌های ظرفیت که پیوندهای بلوری را شکل می‌دهند، نوارهایی را اشغال می‌کنند که نوار ظرفیت<sup>۱</sup> نامیده می‌شوند، همچنین اولین نوار خالی یا نیمه خالی بعد از نوار ظرفیت به نوار رسانش<sup>۲</sup> موسوم است. نیمرساناهای را به عنوان موادی تعریف می‌کنیم که در آن‌ها نوار ظرفیت به طور کلی از الکترون‌ها پر شده باشد، و نوار رسانش خالی از الکترون باشد. و به‌طور معمول گاف انرژی در نیمرساناهای در ناحیه‌ی مرئی نور و تقریباً به اندازه‌ی  $E_g < 3eV$  می‌توان گفت که نیمرساناهای در دمای اتاق عایق هستند، در این صورت هیچ الکترونی نمی‌تواند جابه‌جا شود و نوار رسانش همچنان خالی باقی می‌ماند. به عبارت دیگر دمای اتاق،  $T = 300^{\circ}K$ ، دمای کافی برای برانگیختگی الکترون‌ها از نوار ظرفیت به نوار رسانش نمی‌باشد، راه دیگر برای بیان مطلب، توجه به این نکته است که مقدار گاف انرژی، به مراتب بیشتر از مقدار انرژی حرارتی  $k_B T$  است، که در آن  $k_B$  ثابت بولتزمن<sup>۳</sup> می‌باشد.

برای انرژی‌های پایین‌تر از انرژی گاف نوار،  $E_g$ ، ماده از نظر اپتیکی شفاف است، زیرا فوتونی با انرژی کمتر از  $E_g$  نمی‌تواند باعث گذار الکترونی از نوار ظرفیت به نوار رسانش شود و در صورت جذب فوتون‌هایی با انرژی بیشتر از گاف نواری، الکترون از نوار ظرفیت به نوارهای خالی رسانش گذار داشته و رسانایی الکتریکی افزایش می‌یابد.

برای توصیف خواص اپتیکی نیمرساناهای، نیازمند بررسی فرایندهای جذب اپتیکی، فوتورسانش و لومینسانس هستیم [۲۰]:

الف) جذب اپتیکی هنگامی صورت می‌گیرد که الکترون در نوار ظرفیت، یک فوتون از باریکه نوری جذب کند و به نوار رسانش گذار یابد. چنین جذبی اساساً وقتی صورت می‌گیرد که انرژی فوتون از گاف انرژی بیش تر باشد، جذب اپتیکی به واسطه برانگیختگی اکسایتون‌ها<sup>۴</sup> نیز امکان پذیر است.

<sup>1</sup> Valence band

<sup>2</sup> Conduction band

<sup>3</sup>Boltzmann's constant

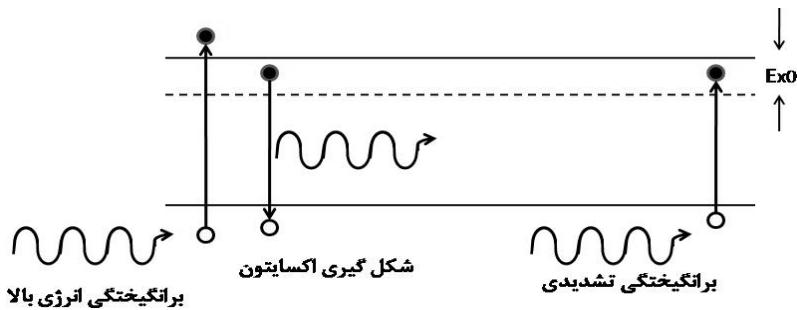
<sup>4</sup>Excitons

ب) در پدیده فوتورسانش، رسانایی یک نیمرسانا در اثر تابش یک باریکه نوری افزایش می‌یابد. باریکه نوری سبب می‌شود حامل‌های بیشتری در گذر از گاف انرژی برانگیخته شوند که این خود باعث افزایش رسانایی می‌شود.

ج) لومینسانس عکس جذب اپتیکی است، الکترون‌ها ابتدا به طریقی برانگیخته شده، به تراز بالاتر می‌روند و در فرایند بازگشت به ترازهای پایین‌تر، فوتون‌هایی گسیل می‌کنند این فوتون منجر به لومینسانس می‌شود.

## ۱۲-۲ اکسایتون‌ها

برهم‌کنش کولنی بین الکترون نوار رسانش و حفره نوار ظرفیت منجر به تشکیل جفت‌های پیوندی الکترون-حفره می‌شود که اکسایتون نامیده می‌شود. به عبارتی اگر انرژی فوتون تابیده شده به یک نیمرسانا، قابل مقایسه با گاف نواری آن ساختار باشد، این انرژی توسط الکترون‌ها جذب شده و می‌تواند شرایط حرکت آزادانه برای یک الکترون را در ساختار بلور فراهم آورد. با توجه به شکل (۱-۲) و تحریک در انرژی بالا، اگر انرژی فوتون بزرگتر از گاف نواری باشد، از این‌رو یک الکترون آزاد به وجود آمده و یک حالت خالی درون نوار ظرفیت بر جای می‌ماند که حفره نام دارد و رفتاری مانند ذره‌ای با بار مثبت دارد. اما در صورتی که انرژی فوتون به اندازه‌ای باشد که الکترون به ترازی زیر نوار رسانش گذار یابد منجر به تشکیل اکسایتون می‌شود.



شکل (۱-۲): نمایی توصیفی از تولید تشدیدی و غیرتشدیدی اکسایتون [۲۱]

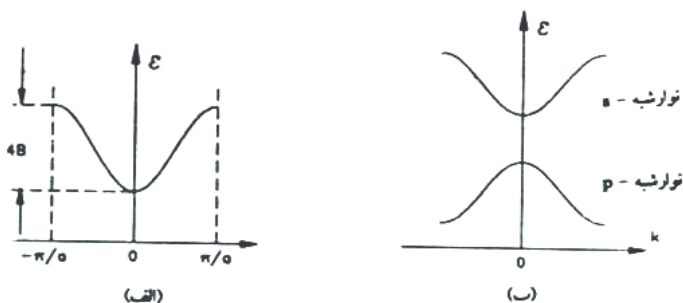
یک اکسایتون خواص یک ذره را دارد؛ متحرک است و می‌تواند در سرتاسر شبکه حرکت کنند و این شبه ذره از نظر بار الکتریکی خنثی است. همچنین، طیف‌های نوری مشخصه‌ای را به نمایش می‌گذارد. وجود اکسایتون تاثیر زیادی بر خواص الکترونی نیمرسانا و

جذب اپتیکی دارد، اکسایتون‌ها مسئول خطوط جذبی شدیدی هستند که در زیر انرژی گاف نوار قرار می‌گیرند. اکسایتون‌ها شباهت زیادی به اتم هیدروژن دارند که علت آن جرم بسیار بزرگ حفره نسبت به الکترون می‌باشد از این رو می‌توان نظریه‌ی بوهر را جهت بررسی خواص اکسایتون به کار برد. شعاع اکسایتونی و یا فاصله نسبی میان الکترون و حفره، نیز به همین دلیل، در اکثر موقع شعاع بوهر اکسایتون نامیده می‌شود.

اکسایتونی که شرح دادیم یک جفت الکترون-حفره‌ی با قید ضعیف است که اکسایتون مات-وانیر<sup>۱</sup> نامیده می‌شود. یک اکسایتون به شدت مقید هم وجود دارد که آن را اکسایتون فرنکل<sup>۲</sup> می‌نامند که شبیه به حالت برانگیخته‌ی بادوام یک اتم است. این اکسایتون متحرک است و می‌تواند به وسیله‌ی برانگیختگی، بین اتم‌های مجاور در شبکه حرکت کند. تقریباً همه‌ی اکسایتون‌هایی که در نیمرساناهای با آن‌ها مواجه‌ایم از نوع مات-وانیر هستند.

### ۳-۲ تقریب جرم موثر<sup>۳</sup>

در بلورها نوارهای انرژی پهن که با گاف‌های انرژی ممنوع از یکدیگر جدا شده‌اند، جایگزین ترازهای انرژی الکترونی گستته در اتم‌های منفرد می‌گردند. اکنون پاشندگی یک نوار انرژی برای هر نوار معین  $n$  با بردار موج  $k$ ، یعنی بستگی انرژی  $(k)_n^{\circ}$  به عدد موج بررسی می‌شود. ابتدا  $(k)_n^{\circ}$  نزدیک یک کمینه مانند  $k_0 = k^{\circ}$  بررسی می‌شود. اغلب چنین کمینه‌ای در  $k = 0$  در مرکز منطقه بریلوئن رخ می‌دهد (شکل ۲-۲).



شکل (۲-۲): وجود کمینه در  $k = 0$  در مرکز منطقه بریلوئن [۲۲]

بسط تیلور پاشندگی  $(k)^{\circ}$  در اطراف  $k_0$  به صورت:

$$\xi(k) = \xi_0 + \frac{d\xi}{dk} \Big|_{k=k_0} (k - k_0) + \frac{1}{2} \frac{d^2\xi}{dk^2} \Big|_{k=k_0} (k - k_0)^2 + \dots \quad (1-2)$$

<sup>1</sup>Mott-Wannier exciton

<sup>2</sup>Frenkel exciton

<sup>3</sup>Effective mass approximation

است، که برای مقادیر کاملاً کوچک  $(k_0 - k)$ ، از مراتب بالاتر که صریحاً در معادله‌ی فوق وارد نشده‌اند، صرف‌نظر می‌شود.

فرض این است که نوار  $(k)$  دارای یک کمینه در  $k = k_0$  است، از این‌رو:

$$\left. \frac{d\xi}{dk} \right|_{k=k_0} = 0 \quad (2-2)$$

با استفاده از معادله‌ی (2-2)، معادله‌ی (1-2) به صورت:

$$\xi(k) = \xi_0 + \frac{\hbar^2(k - k_0)^2}{2m_e} \quad (3-2)$$

در خواهد آمد که در آن:

$$m_e = \frac{\hbar^2}{d^2\xi/dk^2 \Big|_{k=k_0}} \quad (4-2)$$

جرم مؤثر می‌باشد. معادله‌ی (3-2) یک نوار انرژی سهمی شکل با ثابت جرم  $m_e$  را بیان می‌کند که به آن جرم مؤثر می‌گویند. معادله‌ی (4-2) نشان می‌دهد که این جرم مؤثر با تغیر  $(k)$  نسبت عکس دارد. مقدار  $m_e$  متفاوت از  $m_0$  (جرم الکترون در خلا) است. این روش، تقریب جرم مؤثر است. در این تقریب، رفتار دینامیکی یک الکترون در بلور مانند رفتار دینامیکی یک ذره آزاد (اختلاف در جرم،  $m_e \neq m_0$ ) بررسی می‌شود. با تقریب مرتبه اول، این تقریب جرم الکترونی نشان‌دهنده‌ی اثر پتانسیل تناوبی بلور است که بر الکترون عمل می‌کند. این امکان وجود دارد که مفهوم جرم مؤثر را به نواحی که  $(k)$  دارای شکل سهمی نیست (یعنی به طور مثال جملات مرتبه بالاتر در معادله (2-2) که صرف‌نظر شدنی هستند) نیز عمومیت داد. در این مورد،  $m_e$  دیگر ثابت نیست و رفتار دینامیکی الکترون در بلور به مثابه رفتار ذرهای با جرم متغیر (وابسته به  $k$ ) است.

از آنجایی که  $m_e$  با انحنای  $\gamma$  بر حسب  $k$  نسبت عکس دارد، هرچه سهمی تیزتر باشد جرم مؤثر کوچک‌تر است. برخلاف جرم گرانشی<sup>۱</sup>، جرم مؤثر می‌تواند مثبت، منفی، صفر، یا حتی بی‌نهایت باشد. جرم مؤثر بی‌نهایت مربوط به الکترونی است که در جایگاه شبکه جایگزینده است. در این مورد، الکترون به هسته (فرض می‌شود کل جرم بلور را دربردارد) مقید می‌شود. جرم مؤثر منفی در شکل (3-2) با نواری که به سمت پایین کاو است، مربوط می‌شود. جرم

---

<sup>۱</sup>Gravitational mass